124

連続型疲労き裂進展モデルによる非破壊検査を考慮した信頼性解析

神戸大学工学部

正 〇徳 納 久 睦

龍谷大学理工学部

正 中川 隆夫

1. はじめに

非破壊検査(NDI)を受ける構造物の信頼性評価の試みは、国内では北川らをはじめ筆者ら、藤本らによって行なわれているが[1-3]、 疲労き裂進展に連続型の確率モデルを用いた研究はほとんど行なわれていない。本研究では、前報で求めた 2 つの連続型疲労き裂進展確率モデル[4]をNDI問題に適用することにより、き裂進展の統計的変動特性の違いが構造物の信頼性評価に与える影響について考察する。

2. 理 論

2. 1 破壊モデル

本解析では図1に示すような、北川らが用いた圧力容器のモデルと同様のものを用いる[1]。半径a。の初期き裂が相似形を保ちつつ進展し板厚tに達した時を破壊とする。

2.2き裂進展則

き裂半長をa、応力繰返し数をnとするとき、き裂進展速度da/dnと応力拡大係数の変動幅 Δ K の間には

$$da/dn = C(\Delta K)^{m}$$
 (1)

が成立するものとする。ここでm、Cは定数である。 応力拡大係数は、

$$\Delta K = \Delta \sigma \sqrt{\pi a}$$
 (2)

とおき、便宜上、指数mをλ = (m/2)-1なるん で置 きかえると式(1)は、

$$da/dn = C \left(\Delta \sigma \sqrt{\pi}\right)^{2\langle \lambda+1\rangle} a^{\lambda+1}$$
 (3)

式(3) を初期き裂長さaoとして一定応力の下で解くと式(4)が求まる。

$$a = \{a_{\varnothing}^{-\lambda} - \lambda C(\Delta \sigma \sqrt{\pi})^{2(\lambda+1)} n\}^{-1/\lambda} (4)$$

2. 3. 疲労き裂進展モデル

疲労き裂進展過程の確率モデル化に対する本研究の 考え方は、図2に示すように、き裂長さ・荷重繰返し 数の空間すなわち(a, n)空間とは別に、ランダム過程における状態・時間空間すなわち(x,t) 空間を考え、(a,n) 空間におけるき裂長さの確率的挙動が、(x,t) 空間におけるランダムウォークの確率的挙動と一対一対応関係にあるとするものである。先に提案した、2つのフォッカプランク(F. P)方程式によるき裂進展の確率モデルについて簡単に述べる。

2. 3. 1 き裂進展のモデル1

時間 t に対する状態 x がランダムウォークするとき、 x の確率 u (x, t) は次のF. P方程式で表される。

$$\frac{\partial \mathbf{u}}{\partial \mathbf{t}} + \nu \frac{\partial \mathbf{u}}{\partial \mathbf{x}} = \frac{\mathbf{D}}{2} \frac{\partial^{2} \mathbf{u}}{\partial^{2} \mathbf{x}}$$
 (5)

ここでν、D は定数である。式(5)の初期条件u(x,0)= $\delta(x)(\delta(x)$ はディラックの δ 関数)に対する解析解は、

$$u(x, t) = \frac{1}{\sqrt{2\pi Dt}} \exp\left(-\frac{(x - \nu t)^2}{2Dt}\right)$$
 (6)

となる。すなわち、時刻 t における x の分布は、平均値 ν t 、分散 D t の正規分布となる。また、 x における 寿命 t の確率密度関数 v (x,t) は、

$$v(x, t) = \frac{1}{\sqrt{2\pi Dt/\nu^2}} exp\{-\frac{(t - x/\nu)^2}{2Dt/\nu^2}\}$$
 (7)

となる。式 (7) の右辺の分母の t を近似的に x/ν とおくと寿命 t の近似式は、

$$v'(x, t) = \frac{1}{\sqrt{2\pi Dx/\nu^3}} exp\{-\frac{(t-x/\nu)^2}{2Dx/\nu^3}\}$$
 (8)

となり、平均値と分散をそれぞれ x/ν 、 Dx/ν^3 と する正規分布となる。

$$\nu = 10^4 \lambda \ E[C](\Delta \sigma \sqrt{\pi})^{2(\lambda+1)} \tag{9}$$

とおき、nとtおよびaとxの関係をそれぞれ、

$$t = 10^{-4} n {10}$$

$$x = a_0^{-\lambda} - a^{-\lambda}$$
(11)

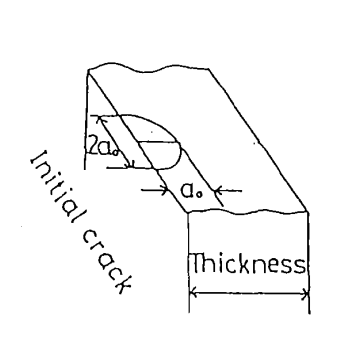


図 1 破壊モデル

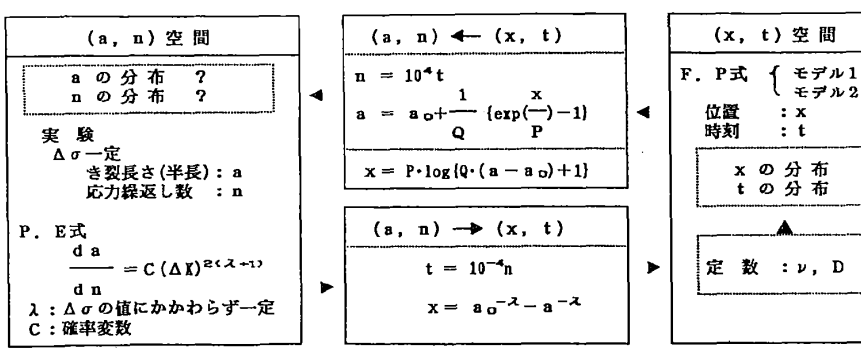


図 2 (a, n)空間と(x,t)空間

とし、さらにP、Qを定数とする式(11)の近似式

$$x = P \cdot \log \{Q \cdot (a - a_0) + 1\}$$
 (1)

を用いてxからaへの変換を行う。

これらの式から解析的にき裂長さの分布式w(a,n)および寿命分布 h(a,n)が求まる。

$$w (a, n) = \frac{P Q}{\{Q \cdot (a - a_0) + 1\} \sqrt{2 \pi \cdot 10^{-4} D n}}$$

$$\cdot \exp\{-\frac{\{P \cdot \log\{Q \cdot (a - a_0) + 1\} - 10^{-4} \nu n\}^2}{2 \cdot 10^{-4} D n}\}$$
(13)

h (a, n) =
$$\frac{1}{\sqrt{2 \cdot 10^8 \pi \, Df(a) / \nu^3}}$$

$$\cdot \exp \left\{-\frac{(n-10^4 \cdot f(a)/\nu)^2}{2 \cdot 10^8 \cdot Df(a)/\nu^3}\right\}$$
 (14)

ただし $f(a) = ao^{-\lambda} - a^{-\lambda}$

式(14)より寿命の平均値および分散をそれぞれ E [n] Var[n]とすると

$$\frac{\text{Var}[n]}{\text{E}[n]} = \frac{10^8 \cdot \text{Df}(a) / \nu^3}{10^4 \cdot \text{f}(a) / \nu} = \frac{10^4 \text{D}}{\nu^2} = \text{const.} \quad (15)$$

2. 3. 2 き裂進展のモデル2

P. E式の係数 C を、平均値 E [C]、分散Var[C]とする正規分布と仮定し、

$$\nu = \lambda E[C] (\Delta \sigma \sqrt{\pi})^{2(\lambda+1)} \cdot 10^4$$
 (16)

$$D = \nu^2 \cdot Var[C] / E[C]^2$$
 (17)

とおくと、モデル2のF. P方程式は

$$\frac{\partial u}{\partial t} + \nu \frac{\partial u}{\partial x} = D t \frac{\partial^2 u}{\partial^2 x}$$
 (18)

となる。

式(17)の解は平均値 ν t 分散 D t 2 の正規分布となり、

$$u(x,t) = \frac{1}{\sqrt{2\pi D t^2}} \exp\{-\frac{(x-\nu t)^2}{2D t^2}\}$$
 (19)

$$t = 10^{-4} n$$
 (20)

$$x = a_0^{-\lambda} - a^{-\lambda} \tag{21}$$

としさらにP、Qを定数とする、式(21)の近似式

$$x = P \cdot \log \left(Q \cdot (a - a_0) + 1 \right) \tag{22}$$

を用いて、(a, n)空間に変換すると、モデル1の場合と 同様に解析的にき裂長さの分布式w(a, n)および寿命分 布 h (a, n)が求まる。

$$w (a, n) = \frac{P Q}{\{Q \cdot (a - a_0) + 1\} \sqrt{2\pi \cdot 10^{-4} D n}} \cdot \exp\{-\frac{\{P \cdot \log\{Q \cdot (a - a_0) + 1\} - 10^{-4} \nu n\}^2}{2 \cdot 10^{-6} D n^2}\} (23)$$

h (a, n) =
$$\frac{1}{\sqrt{2 \cdot 10^8 \pi D f(a)^2 / \nu^4}}$$

$$\cdot \exp \left\{ -\frac{(n - 10^4 \cdot f(a) / \nu)^2}{2 \cdot 10^8 D f(a)^2 / \nu^4} \right\}$$
 (24)

ただし $f(a) = ao^{-\lambda} - a^{-\lambda}$ チデル2では

$$\frac{\sqrt{\text{Var}[n]}}{\text{E}[n]} = \frac{\sqrt{D}}{\nu} = \text{const.}$$
 (25)

となる。

2. 4 き裂長さの初期分布および欠陥発見確率

初期 き裂長さ a.o の初期分布 Go(ao) にはベータ関数を用いる。

$$G_{o}(a_{o}) = \frac{(a_{o} - a_{L})^{q-1}(a_{U} - a_{o})^{r-1}}{B(q, r)(a_{U} - a_{L})^{q+r-1}}$$
(26)

ここで a L および a u は分布の上下限値、p およびq はベータ関数のパラメータである。

また、欠陥発見確率 P [D | a] は a を変数とする次の式で表されるものとする。[1]

$$P[D \mid a] = 0 : a < a_1$$

$$P[D \mid a] = (\frac{a - a_1}{a_2 - a_1})^{-d} : a_1 \le a \le a_2$$

$$P[D \mid a] = 1 : a_2 < a_1$$

2.5 破壊確率

破壊確率の計算は「部品交換モデル」(NDIにより検出されなかったき裂分布はそのまま残り、検出されたき裂分布は初期き裂長さ分布に再分配される)の場合ついて行う。計算は(x,t)空間上で行い、き裂長さるだ対応するxの値を便宜的にき裂長さと考えることにする。供用開始後の時刻T」においてj回目のNDIを行うものとしT」の前後におけるき裂長さの確率密度関数をそれぞれp(x | T」)およびp'(x | T」)とする。部品交換モデルの仮定より式(27)を用いて、

$$p'(x \mid T_J) = G_o(x) \int_{-\infty}^{\infty} p(x \mid T_J) \cdot P[D \mid x] dx + p(x \mid T_J) \cdot \{1 - P[D \mid x]\}$$
(28)

となる。モデル1 においては、 T 」において x = x 」 のき裂は T 」から時間 t 後には、平均値(x 」 + ν t)、 分散 D t の正規分布になることから、この正規分布を NORM(x | x 」 + ν t 、 D t) (29)

$$p(x \mid T_{J} + t) = \int_{-\infty}^{\infty} p'(x_{J} \mid T)$$

となる。

時刻Tにおける破壊確率Pr はき裂長さが限界き裂長さx。を越える確率として得られる。

$$P_{\tau}(T) = \int_{X_{\Phi}} p(x \mid T) dx \qquad (31)$$

モデル 2 では、T」から時間 t 後の分散がD t ²となる。

3 解析例

3, 1 き裂長さの初期分布および欠陥発見確率

限界き裂長さを $20\,\mathrm{mm}$ 、応力幅を $200\,\mathrm{Mpa}$ 、き裂長さの初期分布を与える式(26)の係数は、 $a_{L}=0.5\,\mathrm{mm}$ 、 $a_{U}=7\,\mathrm{mm}$ 、q=1、r=6 とした。また、欠陥発見確率 P[D|a]の係数は $a_{1}=0.5\,\mathrm{mm}$ 、 $a_{2}=12\,\mathrm{mm}$ 、d=0.15 とした。

3. 2 P. EおよびF. P式の係数

P. E式の係数 C の平均値は 1×1 0 $^{-13}$ 、 $m = 3.0(\lambda = 0.5$ とした。2つのF. P方程式はいずれも、 ν および D の 2 つの係数をもつが、 ν はき裂進展速度の平均値をあたえ、両モデルに対し式(9)から求まる。一方 D は、き裂進展のばらつきをあたえ、過去の実験結果から定めた。 モデル 1 では、寿命分布について(分散/平均値) = s = -定、となるがこの値は約 $1000 \sim 3000$ 程度であることから[5]この値を式(15)に代入しDを決める。一方、モデル 2 では寿命分布について(標準偏差/平均値) = 変動係数 = $v_n = -$ 定となるがこの値は約 $0.03 \sim 0.1$ 程度であることからこの値を式(25)に代入してDを決めた。[6]

前述のように、寿命分布についてモデル1はs が一

4 考 察

定の、またモデル 2 は v_n が一定のモデルであるといえる。推移確率行列を用いる離散モデルは、前者とほぼ対応するものであり [5]、後者は実験的にはしばしば現われるが [6] これまでモデル化はされていない。図 3 、 4 は、モデル 1 の s=1000 および 3000 の場合について、NDIの回数が累積破壊確率 P_r におよぼす影響を示す。NDIの回数は (PSI+ISI) としている。 s の値が大きいほど P_r の値も大きい。また、本計算に用いたき裂長さの初期分布および欠陥発見確率では、供用前査 (PSI) の効果はほとんど見られない。図 5 、6 は、モデル 2 による $v_n=0.03$ 、0.10 の場合の同様の負許見られる。図 3 と図 6 を比較すると N DIの回数の少ない範囲でかなりよく一致している。

参考文献

- 1]北川ら,機論,A-45,397,1033-1035(1979)
- 2]中川ら、材料、34、378、327-332(1985)
- 3] 藤本, 非破壊検査, 41, 4, 179-185 (1992)
- 4]徳納ら,41期材料学会前刷,(1992)
- 5]中川ら,材料,33,367,475-481(1984)
- 6]市川ら,第10回設計における信頼性工学シンポジウム 前刷,101-106(1991)

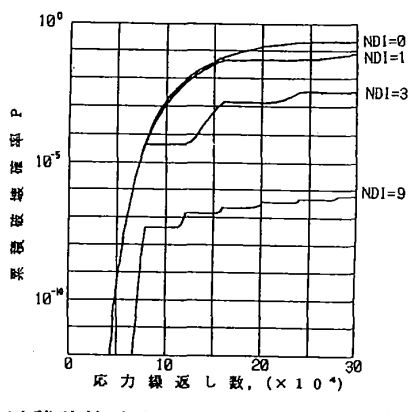


図3 累積破壊確率 P、s=1000(モデル1)

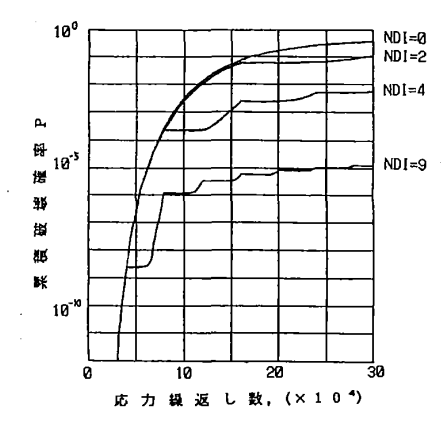


図 4 累積破壊確率 P、s=3000(モデル1)

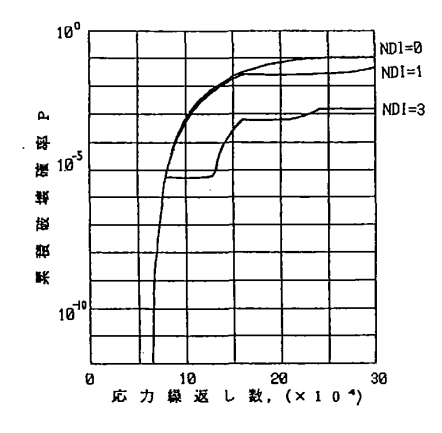


図 5 累積破壊確率 P、Vn=0.03(モデル2)

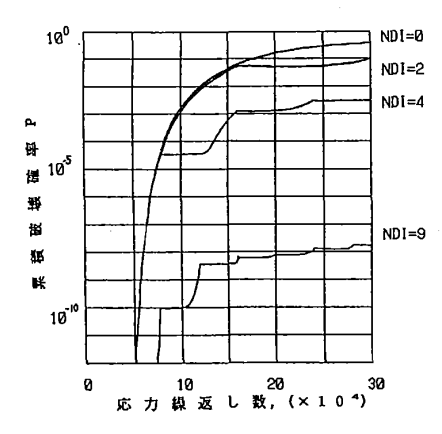


図 6 累積破壊確率 P、 vn=0.01(モデル2)